

# 모션

- 동적 비전
  - 움직이는 세상에서 획득한 여러 장의 영상을 대상으로 정보를 알아내는 기능
  - 응용 예 : 감시용 카메라, 스포츠 중계, 자율 주행 차량, 로봇 항해, 게임 등

## 움직이는 상황

- 동적 비전이 처리하는 연속 영상(동영상)
  - 시간 축 샘플링 비율
    - 보통 30 프레임 / 초 (30 fps)
    - 특수한 경우, 수천 프레임/초 또는 60 프레임/시

$$f(y, x, t), t = 1 \leq t \leq T \quad (10.1)$$

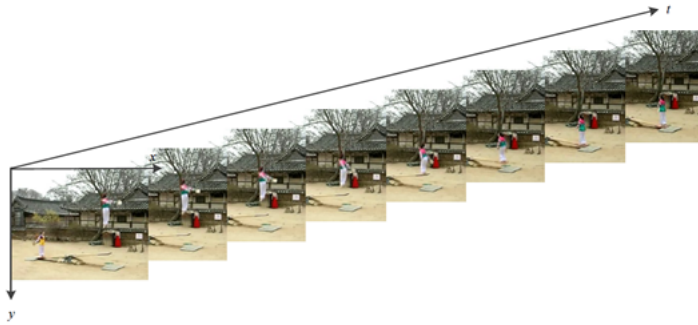


그림 10-3 시간축이 추가된 연속 영상

- 네 가지 상황
  - 정지 카메라와 정지 장면
    - 정지 영상 한 장이 주어진 상황으로서 앞 장에서 공부한 내용
  - 정지 카메라와 동적 장면
    - 동적 비전에서 다루는 문제 중 가장 단순한 경우로
    - 많은 연구를 수행하여 성공적인 알고리즘이 가장 많은 편
    - 과속 단속 또는 주차 관리용 카메라나 감시용 카메라 등은 대부분 고정되어 있으므로 이 상황에 해당
  - 동적 카메라와 정적 장면
    - 불법 주차되어 있는 차량을 찍고 다니는 단속용 차량이 이 경우에 해당
  - 동적 카메라와 동적 장면
    - 가장 복잡한 경우
    - 항해하는 로봇, 자율주행 자동차, 스포츠 중계 등
    - 스스로 방향과 줌을 조절할 수 있는 능동비전 기능을 가진 감시용 카메라 포함
- 알아내야 할 정보
  - 물체가 움직이는 방향과 속도
  - 물체에 대한 행위 인식

(사람은 의도까지 추론, 언제쯤 컴퓨터 비전이 거기에 도달할 수 있을까?)
- 동적 비전의 기술 난이도

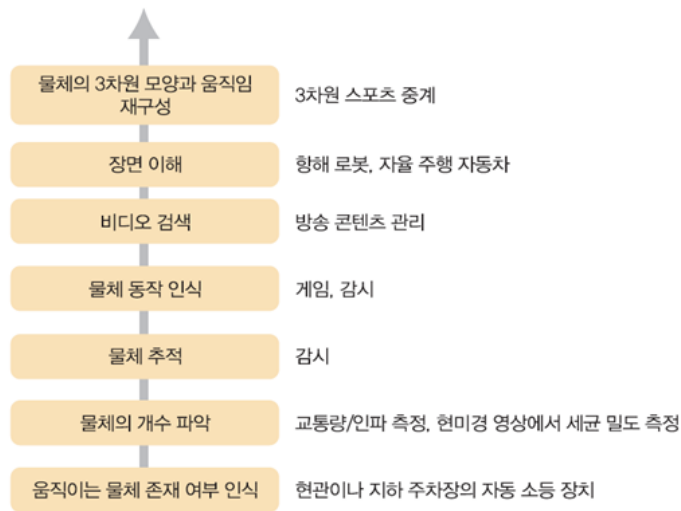


그림 10-5 동적 비전의 기술 난이도

- 연속 영상 처리 알고리즘
  - 알고리즘 10-1은 시간 일관성을 이용하지 않아 비효율적

**알고리즘 10-1 연속 영상의 처리(시간 일관성을 사용하지 않는 순진한 버전)**

입력 : 연속 영상  $f(x, t)$ ,  $1 \leq t \leq T$

출력 :  $f$ 에서 추출한 움직임 정보

```

1  for( $t=1$  to  $T$ ) {
2       $f(x, t)$ 를 처리하여 특징 집합  $m_t$ 를 추출한다.
3  }
4   $T$ 개의 특징 집합에서 움직임 정보를 생성한다.

```

- 영상 일관성(중요)
  - 공간 일관성 : 이웃 화소,  $f(y, x, t)$ 와  $f(y + \Delta y, x + \Delta x, t)$ 는 비슷할 가능성이 높음
  - 시간 일관성 : 이웃 프레임,  $f(y, x, t)$ 와  $f(y, x, t + \Delta t)$ 는 비슷할 가능성 높음

## 차 영상

- 차 영상 : 인접한 영상의 차
  - $t$ 는 현재 프레임이고  $r$ 은 기준 프레임  
( $r$ 은  $t - 1$  또는 물체가 나타나기 이전의 초기 배경 영상)

$$d_r(y, x) = \begin{cases} 1, & |f(y, x, t) - f(y, x, r)| > \tau \\ 0, & \text{그렇지 않으면} \end{cases} \quad (10.2)$$

또는

$$d_r(y, x) = \begin{cases} 1, & \frac{1}{\sigma_t \times \sigma_r} \left( \frac{\sigma_t + \sigma_r}{2} + \left( \frac{\mu_t - \mu_r}{2} \right)^2 \right) > \tau \\ 0, & \text{그렇지 않으면} \end{cases} \quad (10.3)$$

- 신경 안써도 되는 수식임

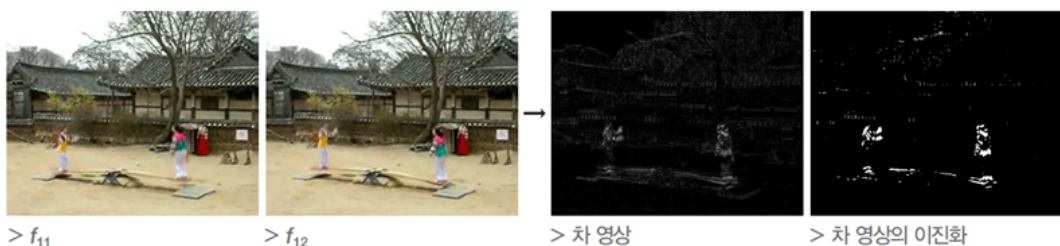


그림 10-6 차 영상

- 오차가 있을 수 있다
    - 바람
    - 조명
    - 센서 내부의 노이즈
  - 차 영상을 이용한 움직임 추출 알고리즘
    - 배경과 물체의 색상에 큰 변화가 없는 상황에서만 동작
- 예) 공장의 벨트 컨베이어, 조명이 고정된 실내 등

#### 알고리즘 10-2 차 영상에서 움직임 추출

입력: 두 장의 영상  $f(x, r)$ ,  $f(x, t)$  //  $r$ 은 기준 프레임,  $t$ 는 현재 프레임

출력: 움직임 정보

- 1 식 (10.2) 또는 식 (10.3)을 이용하여 차 영상  $d$ 를 구한다.
- 2  $d$ 의 연결요소를 구한다.
- 3 크기가 작은 연결요소를 제거한다. // 잡음으로 간주
- 4 적절한 모폴로지 연산을 수행한다(선택적). // 예를 들어 열기 연산(식 (2.24))
- 5 연결요소를 해석하여 움직임 정보를 추출한다.

## 모션 필드

- 3차원 모션 벡터  $v_3$ 를 복원할 수 있을까?
  - 불가능 <- 수없이 많은 3차원 벡터가 2차원의 동일한 벡터로 투영되는데, 주어진 정보는 2차원
  - 3차원 복원을 위해선 시점이 다른 여러 대의 카메라를 사용해야 함

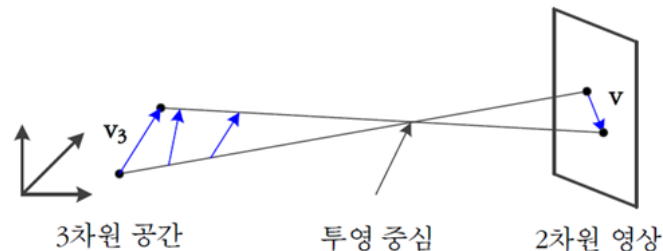
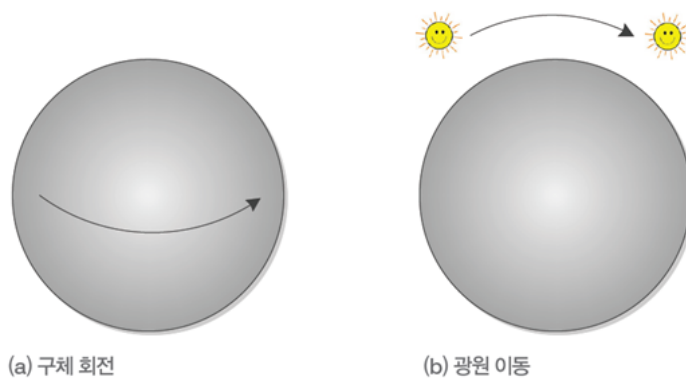


그림 10-7 3차원 모션의 2차원 투영

- 2차원 모션 벡터 추정
  - 대부분 연구는 두 장의 이웃 영상에서 2차원 모션 벡터를 추정하는 일로 국한
- 모션 필드 추정이 근본적으로 어려운 상황



(a) 구체 회전

(b) 광원 이동

그림 10-9 모션 필드 추정이 근본적으로 어려운 상황

## 광류

- 광류는 모션 필드의 근사 추정치

- 광류 알고리즘은 모든 화소의 **모션 벡터**  $\mathbf{v} = (v, u)$ 를 추정해야 함
- 숫자로 구성된 영상에서 어떻게 모션 벡터를 추정하나?

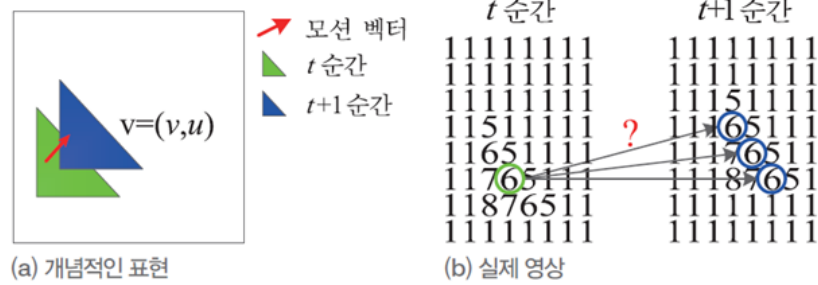


그림 10-10 모션 벡터(광류 알고리즘이 추정해야 할 정보)

- 주변에 있는 값들도 같이 움직였다는 가정?

## 광류 추정의 원리

- 어려움
  - 수백 \* 수백 이상 크기의 256 명암 영상
  - 여러 기하 변환과 광도 변환, 잡음 발생
  - 움직이는 물체와 정지한 물체가 혼재하고 움직임 도중에 가림도 발생
- 현실을 적절히 표현하는 모델 필요
  - 실제 세계를 훼손하지 않는 범위 내에서 적절한 가정 필요
  - **밝기 향상성**: 물체의 같은 점은 다음 영상에서 같은 (유사한) 명암 값을 가져야 함
    - 현실에 정확히 들어맞지 않지만, 실험 결과에 따르면 받아들일 수 있을 정도의 오차 범위 이내
- 테일러 급수에 따르면

$$f(y + dy, x + dx, t + dt) = f(y, x, t) + \frac{\partial f}{\partial y} dy + \frac{\partial f}{\partial x} dx + \frac{\partial f}{\partial t} dt + 2차 이상의 항 \quad (10.4)$$

- 두 영상 사이의 시간 차이  $dt$ 가 작다고 가정하고 2차 이상의 항은 무시
- 밝기 향상성 가정에 따라  $f(y + \Delta y, x + \Delta x, t + \Delta t)$ 를 대입하면

$$\frac{\partial f}{\partial y} \frac{dy}{dt} + \frac{\partial f}{\partial x} \frac{dx}{dt} + \frac{\partial f}{\partial t} = 0 \quad (10.5)$$

$\frac{\partial f}{\partial y}$ 와  $\frac{\partial f}{\partial x}$ 는 에지 검출에 사용한 식 (3.5)에 해당

$\frac{dy}{dt}$ 와  $\frac{dx}{dt}$ 는  $dt$  동안  $y$ 와  $x$  방향으로 이동량이므로 모션 벡터에 해당, 즉  $\frac{dy}{dt} = v$ 이고  $\frac{dx}{dt} = u$

- 정리해보면,

$$\frac{\partial f}{\partial y} v + \frac{\partial f}{\partial x} u + \frac{\partial f}{\partial t} = 0 \quad (10.6)$$

- 이 식을 **광류 조건식**(그래디언트 조건식) 이라 부름
- 미분을 이용한 광류 추정 알고리즘 (Lucas-Kanade 알고리즘, Horn-Schunck 알고리즘 등)은 대부분 이 식을 이용
- 그래디언트를 구성하는 세 항의 값을 알아도  $v$ 와  $u$ 를 유일한 값으로 결정 불가능
  - (하나의 방정식에 두 개의 미지수) -> 추가적인 가정 필요

이 예제는 [그림 10-10]의 영상을 활용한다. 편도함수 값은 다음과 같이 이웃한 점과의 차이로 구한다고 하자.

$$\frac{\partial f}{\partial y} = f(y+1, x, t) - f(y, x, t), \quad \frac{\partial f}{\partial x} = f(y, x+1, t) - f(y, x, t), \quad \frac{\partial f}{\partial t} = f(y, x, t+1) - f(y, x, t)$$

그림에서 동그라미로 표시한 화소 (5,3,t)에 대해 편도함수 값을 계산해 보면 다음과 같다.

$$\frac{\partial f}{\partial y} = f(6, 3, t) - f(5, 3, t) = 7 - 6 = 1, \quad \frac{\partial f}{\partial x} = f(5, 4, t) - f(5, 3, t) = 5 - 6 = -1, \quad \frac{\partial f}{\partial t} = f(5, 3, t+1) - f(5, 3, t) = 8 - 6 = 2$$

계산 값을 식 (10.6)에 대입하면 다음과 같은 방정식을 얻는다.

$$v - u + 2 = 0$$

그래프에 표시하면 [그림 10-11]과 같다. 이 식을 해석해 보자. 구하려는 모션 벡터  $(v, u)$ 는 이 직선 상에 놓여야 하는데 유일한 한 점으로 결정할 수는 없다. 이어서 광류 추정 알고리즘에서는 밝기 항상성 이외에 또 다른 가정을 추가하여 유일한 해를 찾는 방법을 다룬다.

**TIP** [그림 10-10]의 상황에서는  $(-1, 1)$ 이 해이다.

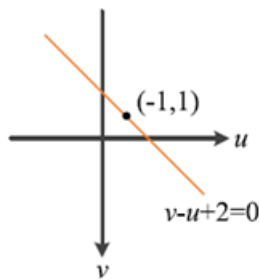


그림 10-11 모션 벡터를 위한 광류 조건식

## 광류 추정 알고리즘

- Lucas-Kanade 알고리즘 [Lucas84]
  - 화소  $(y, x)$ 를 중심으로 하는 윈도우의 영역  $N(y, x)$ 의 광류는 같다는 가정

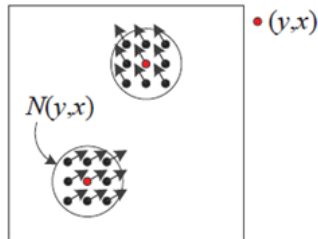


그림 10-12 Lucas-Kanade의 가정(이웃 화소는 같은 모션 벡터를 가짐)

- 식으로 쓰면,

$$\frac{\partial f(y_i, x_i)}{\partial y} v + \frac{\partial f(y_i, x_i)}{\partial x} u + \frac{\partial f(y_i, x_i)}{\partial t} = 0, \quad (y_i, x_i) \in N(y, x) \quad (10.7)$$

- 행렬 형태로 바꾸어 쓰면

$$\mathbf{A} \mathbf{v}^T = \mathbf{b}$$

이때  $\mathbf{A} = \begin{pmatrix} \frac{\partial f(y_1, x_1)}{\partial y} & \frac{\partial f(y_1, x_1)}{\partial x} \\ \vdots & \vdots \\ \frac{\partial f(y_n, x_n)}{\partial y} & \frac{\partial f(y_n, x_n)}{\partial x} \end{pmatrix}, \quad \mathbf{v} = (v \quad u), \quad \mathbf{b} = \begin{pmatrix} -\frac{\partial f(y_1, x_1)}{\partial t} \\ \vdots \\ -\frac{\partial f(y_n, x_n)}{\partial t} \end{pmatrix} \quad (10.8)$

- $\mathbf{v}$ 로 정리하면,

$$\mathbf{v}^T = (\mathbf{A}^T \mathbf{A})^{-1} \mathbf{A}^T \mathbf{b} \quad (10.9)$$

- 행렬의 원소가 나타나도록 쓰면,

$$\mathbf{v}^T = \begin{pmatrix} v \\ u \end{pmatrix} = \begin{pmatrix} \sum_{i=1}^n \left( \frac{\partial f(y_i, x_i)}{\partial y} \right)^2 & \sum_{i=1}^n \frac{\partial f(y_i, x_i)}{\partial y} \frac{\partial f(y_i, x_i)}{\partial x} \\ \sum_{i=1}^n \frac{\partial f(y_i, x_i)}{\partial y} \frac{\partial f(y_i, x_i)}{\partial x} & \sum_{i=1}^n \left( \frac{\partial f(y_i, x_i)}{\partial x} \right)^2 \end{pmatrix}^{-1} \begin{pmatrix} -\sum_{i=1}^n \frac{\partial f(y_i, x_i)}{\partial y} \frac{\partial f(y_i, x_i)}{\partial t} \\ -\sum_{i=1}^n \frac{\partial f(y_i, x_i)}{\partial x} \frac{\partial f(y_i, x_i)}{\partial t} \end{pmatrix}$$

- 가우시안 스무딩 항을 추가하면

$$\mathbf{A}^T \mathbf{W} \mathbf{A} \mathbf{v}^T = \mathbf{A}^T \mathbf{W} \mathbf{b}, \text{ 이 식을 풀면 } \mathbf{v}^T = (\mathbf{A}^T \mathbf{W} \mathbf{A})^{-1} \mathbf{A}^T \mathbf{W} \mathbf{b} \quad (10.10)$$

- 행렬의 원소가 나타나도록 풀어 쓰면

$$\begin{pmatrix} v \\ u \end{pmatrix} = \begin{pmatrix} \sum_{i=1}^n w_i \left( \frac{\partial f(y_i, x_i)}{\partial y} \right)^2 & \sum_{i=1}^n w_i \frac{\partial f(y_i, x_i)}{\partial y} \frac{\partial f(y_i, x_i)}{\partial x} \\ \sum_{i=1}^n w_i \frac{\partial f(y_i, x_i)}{\partial y} \frac{\partial f(y_i, x_i)}{\partial x} & \sum_{i=1}^n w_i \left( \frac{\partial f(y_i, x_i)}{\partial x} \right)^2 \end{pmatrix}^{-1} \begin{pmatrix} -\sum_{i=1}^n w_i \frac{\partial f(y_i, x_i)}{\partial y} \frac{\partial f(y_i, x_i)}{\partial t} \\ -\sum_{i=1}^n w_i \frac{\partial f(y_i, x_i)}{\partial x} \frac{\partial f(y_i, x_i)}{\partial t} \end{pmatrix}$$

### 알고리즘 10-3 Lucas-Kanade 광류 알고리즘

입력 : 인접한 두 장의 영상  $f(y, x, t)$ 와  $f(y, x, t+1)$ ,  $0 \leq y \leq M-1$ ,  $0 \leq x \leq N-1$ , 임계값  $\epsilon$

출력 : 광류 맵  $\mathbf{v}(y, x)$ ,  $0 \leq y \leq M-1$ ,  $0 \leq x \leq N-1$

```

1  for(y=0 to M-1)
2  for(x=0 to N-1)
3    v(y, x)=velocity_vector(y, x, f_t, f_{t+1}); // f_t와 f_{t+1}은 두 장의 입력 영상
4  function velocity_vector(y, x, f_t, f_{t+1}) {
5    if((y, x)에 씌운 윈도우가 영상을 벗어나지 않으면) { // 영상의 경계 부근은 제외
6      cy=y; cx=x;
7      repeat {
8        식 (10.10)을 이용하여 화소 (cy, cx)의 모션 벡터 (v, u)를 계산한다.
9        cy=cy+v; cx=cx+u;
10     } until(||v, u|| < ε);
11     return((cy-y, cx-x)); // (cy-y, cx-x)는 추정된 모션 벡터
12   }
13   else return(Nil); // (y, x)는 광류 계산 불가
14 }
```

← 식 (10.10)을  
반복 적용

- 특성

- 이웃 영역만 보는 지역적 알고리즘
  - 윈도우의 크기 중요
    - 클수록 큰 움직임을 알아낼 수 있지만 스무딩 효과로 모션 벡터의 정확성 낮아짐
  - 해결책으로 피라미드 활용하는 기법 [Bouguet2000]
- 명암 변화가 적은 물체 내부에 0인 벡터 발생

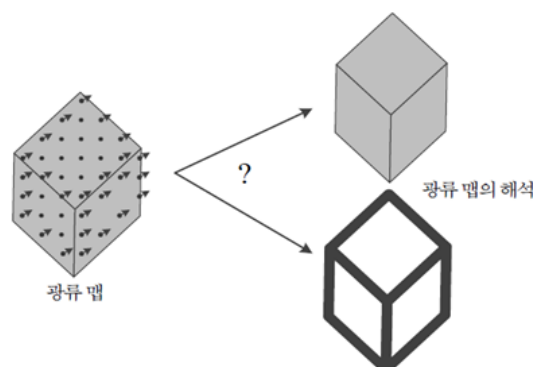
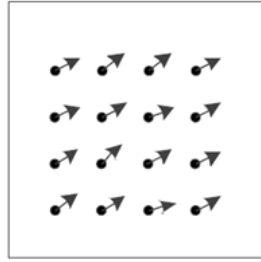
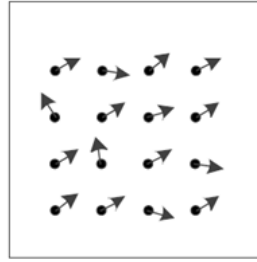


그림 10-13 Lucas-Kanade로 구한 광류 맵을 해석할 때 애매함이 생기는 경우

- 명압값이 적으면 알아내기 힘들다(Optical Flow가 잘 작동 안함)
- Horn-Schunck 알고리즘 [Horn81]
  - 광류는 부드러워야 한다는 가정
  - 그림의 상황에서 HS 알고리즘은 왼쪽 선호



(a) 광류가 균일한 경우



(b) 광류가 균일하지 않는 경우

그림 10-14 Horn-Schunck 가정

- 부드러운 정도를 식으로 쓰면,
  - 값이 작을수록 부드러움

$$\|\nabla v\|^2 + \|\nabla u\|^2 = \left(\frac{\partial v}{\partial y}\right)^2 + \left(\frac{\partial v}{\partial x}\right)^2 + \left(\frac{\partial u}{\partial y}\right)^2 + \left(\frac{\partial u}{\partial x}\right)^2 \quad (10.11)$$

- 두 가지 목적을 동시에 만족
  - 식 (10.6)을 0에 가깝게 하면서 식 (10.11)을 될 수 있는 한 작게 함
    - 두 번째 항은 정규화 항
    - 정규화 기법 : 정규화 항을 이용하여 부드러운 해를 구하는 방법
  - $\alpha$ 는 어느 것에 비중을 둘 지 결정하는 매개변수 ( $\alpha$ 가 클수록 부드러운 광류 맵)

$$E = \iint \left( \left( \frac{\partial f}{\partial y} v + \frac{\partial f}{\partial x} u + \frac{\partial f}{\partial t} \right)^2 + \alpha^2 (\|\nabla v\|^2 + \|\nabla u\|^2) \right) dy dx \quad (10.12)$$

- 식 (10.12)의 최적해를 구하는 반복식

$v^0$ 와  $u^0$ 는 0으로 초기화

$\bar{v}^k$ 와  $\bar{u}^k$ 는 현재 화소를 중심으로 하는 윈도우의 평균

$$\begin{aligned} v^{k+1} &= v^k - \frac{\frac{\partial f}{\partial y} \left( \frac{\partial f}{\partial y} v^k + \frac{\partial f}{\partial x} u^k + \frac{\partial f}{\partial t} \right)}{\alpha^2 + \left( \frac{\partial f}{\partial y} \right)^2 + \left( \frac{\partial f}{\partial x} \right)^2} \\ u^{k+1} &= u^k - \frac{\frac{\partial f}{\partial x} \left( \frac{\partial f}{\partial y} v^k + \frac{\partial f}{\partial x} u^k + \frac{\partial f}{\partial t} \right)}{\alpha^2 + \left( \frac{\partial f}{\partial y} \right)^2 + \left( \frac{\partial f}{\partial x} \right)^2} \end{aligned} \quad (10.13)$$

#### 알고리즘 10-4 Horn-Schunck 광류 알고리즘

입력 : 인접한 두 장의 영상  $f(y,x,t)$ 와  $f(y,x,t+1)$ ,  $0 \leq y \leq M-1$ ,  $0 \leq x \leq N-1$ , 임계값  $\varepsilon$

출력 : 광류 맵  $v(y,x)$ ,  $0 \leq y \leq M-1$ ,  $0 \leq x \leq N-1$

```

1  for(모든 화소 (y,x))  $v^0(y,x)=0$ ; //  $v^0=(v^0, u^0)$ 를 0으로 초기화
2   $k=0$ ;
3  repeat {
4    식 (10.13)을 이용하여  $v^{k+1}$ 를 구한다. // 모든 화소에 대해 적용함
5    식 (10.12)를 이용하여 오류  $E$ 를 계산한다.
6     $k++$ ;
7  }until( $E < \varepsilon$ ); // 오류가 충분히 작으면 수렴했다고 간주하고 멈춤

```

- 기타 광류 추정 알고리즘

- Lucas-Kanade는 지역적, Horn-Schunck는 전역적 알고리즘
  - LK는 값이 정해지지 않은 곳이 군데군데 발생 (명암 변화가 적은 데에서 심함)
  - HS는 반복 과정에서 값이 파급되어 밀집된 광류 맵 생성
  - 정확도 면에서는 LK가 뛰어남
- 두 알고리즘의 장점을 결합한 아이디어 [Bruhn2005]
- 제곱 항을 절대값으로 대체하여 물체 경계선이 불분명한 단점을 극복 [Zach2007]

- 미분 이외의 방법

- 다양한 방법 비교분석
- MRF
- 그래프 절단
- 학습 기반 필터 설계



그림 10-15 광류 맵의 예

## 광류의 활용

- 광류는 중간 표현

- 물체 추적이나 제스처 인식과 같은 고급 비전을 처리하려면, 광류에서 움직임 정보나 패턴을 추출해야 함
- 광류 맵에 나타나는 여러가지 패턴

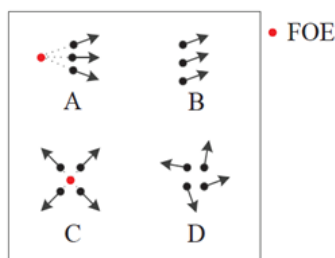


그림 10-16 광류로부터 모션 추정



- 시간이라는 축을 하나 뒤서 연속적으로 들어오는 영상에 대해서 차이를 잘 표현하는 방법 : Optical Flow Algorithm

## 물체 추적

### KLT 추적 알고리즘

- 세부 문제들
  - 첫 프레임에서 관심 물체 검출
  - 이후 영상에서 궤적 추적
  - 가림 현상과 장면에서 사라졌다 다시 나타나는 상황 처리
  - 여러 물체의 동시 추적
- 카네기 멜론 대학의 연구
  - Lucas-Kanade 광류 알고리즘을 개조한 물체 추적 알고리즘
  - Kanade, Lucas, Tomasi의 앞 글자 따 **KLT** 추적 알고리즘이라 부름
- 추적에 사용할 특징점 검출 방법
  - 식 (10.9)의  $\mathbf{A}^T \mathbf{A}$ 를 이용

$$\mathbf{H} = \mathbf{A}^T \mathbf{A} = \begin{pmatrix} \sum_{i=1}^n \left( \frac{\partial f(y_i, x_i)}{\partial y} \right)^2 & \sum_{i=1}^n \frac{\partial f(y_i, x_i)}{\partial y} \frac{\partial f(y_i, x_i)}{\partial x} \\ \sum_{i=1}^n \frac{\partial f(y_i, x_i)}{\partial y} \frac{\partial f(y_i, x_i)}{\partial x} & \sum_{i=1}^n \left( \frac{\partial f(y_i, x_i)}{\partial x} \right)^2 \end{pmatrix} \quad (10.14)$$

- $\mathbf{H}$ 의 고유값을 계산하고 추적에 유리한 정도 측정

$$\min(\lambda_1, \lambda_2) > \lambda \quad (10.15)$$

- 알고리즘

#### 알고리즘 10-5 KLT 추적 알고리즘

입력 : 연속 영상  $f_t(y, x)$ ,  $0 \leq y \leq M-1$ ,  $0 \leq x \leq N-1$ ,  $1 \leq t \leq T$

출력 : 궤적  $\mathbf{p}_t(i)$ ,  $1 \leq i \leq n$ ,  $1 \leq t \leq T$

```

1   $f_1$ 에서 식 (10.15)를 만족하는 점을 찾고, 그들 중 특징점을 골라내  $\mathbf{p}_1(i)$ ,  $i=1, 2, \dots, n$ 에 저장한다.
2  for( $t=1$  to  $T-1$ )
3    for( $i=1$  to  $n$ ) {
4       $\mathbf{p}_{t+1}(i) = \text{velocity\_vector}(\mathbf{p}_t(i).v, \mathbf{p}_t(i).u, f_t, f_{t+1})$ ;
5       $\mathbf{p}_{t+1}(i)$ 의 실종 여부를 판정하고, 실종되었다면  $\mathbf{p}_{t+1}(i) = \text{Nil}$ 로 설정하여 추적을 포기한다.
6    }
```

- 추적 대상이 되는 특징점 골라내는 일 (1행)
- 물체의 실종 처리 (5행)

### 큰 이동 추적

- 큰 이동이 발생하는 상황에서의 어려움
  - 순간적으로 크게 이동한 손과 팔에서 모션 벡터 추정 실패

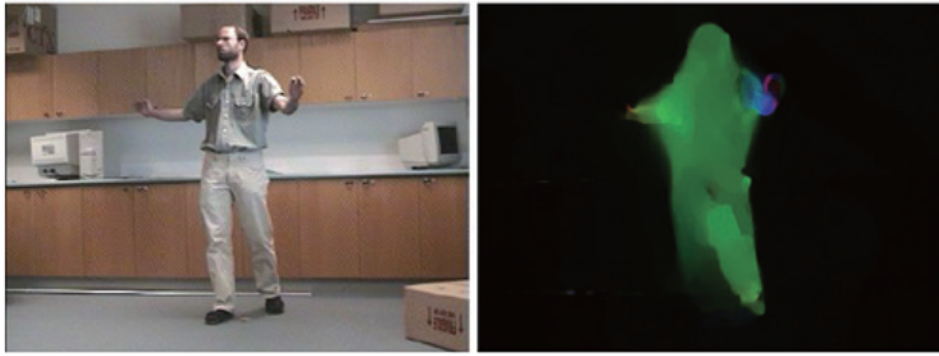


그림 10-17 큰 이동이 발생하는 상황에서 모션 벡터를 제대로 추정하지 못하는 경우

- 대응점 찾기 알고리즘으로 해결
  - [알고리즘 7-2]로 이웃한 두 영상에서 대응점을 찾은 후, 대응점을 잇는 벡터를 모션 벡터로 취함
    - 희소한 문제
    - 아웃라이어 문제
  - [Brox2011]: 대응점 찾기 적용 후, Horn-Schunck로 밀집된 맵을 구하는 2단계 처리
  - [Weinzaepfel2013]: 비슷한 접근을 사용하나, 유연한 SIFT 아이디어를 추가로 사용

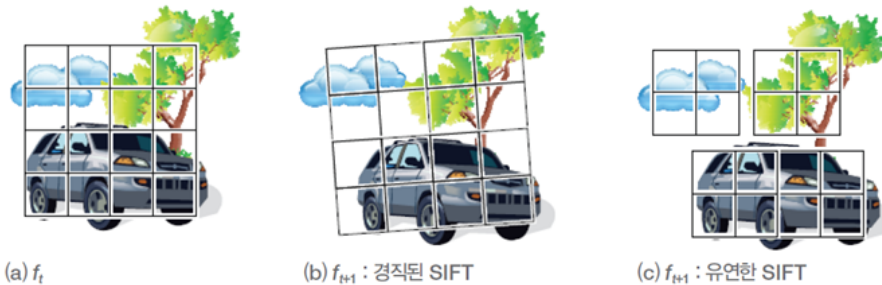


그림 10-18 기존 SIFT(b)와 깊은 신경망이 사용하는 SIFT(c)